# РОССИЙСКАЯ АКАДЕМИЯ НАУК СИБИРСКОЕ ОТДЕЛЕНИЕ

# ЖУРНАЛ СТРУКТУРНОЙ ХИМИИ

НАУЧНЫЙ ЖУРНАЛ

Основан в 1960 г.

Выходит 12 раз в год

149150

149185

TOM 66 Abryct № 8, 2025

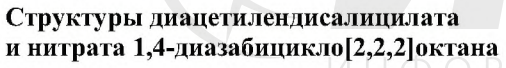
# СОДЕРЖАНИЕ

Радюш Е.А., Семенов Н.А.

Новый молекулярный комплекс 5,6-дициано[1,2,5] селенадиазоло[3,4-*b*] пиразина с 18-краун-6

Ключевые слова: халькогенадиазолы, краун-эфиры, халькогенная связь, вторичные связывающие взаимодействия, нековалентные взаимодействия

Осипов А.А., Ефремов А.Н., Найферт С.А., Раджакумар К., Дороватовский П.В., Спиридонова Д.В., Жеребцов Д.А.



**Ключевые слова:** структура, соли аминов, диацетилендисалициловая кислота

Радюш Е.А., Багрянская И.Ю., Семенов Н.А.

Кристаллические структуры [1,2,5] селенадиазоло[3,4-d] пиримидин-7(6H)-она и [1,2,5] селенадиазоло[3,4-d] пиримидин-5,7(4H,6H)-диона

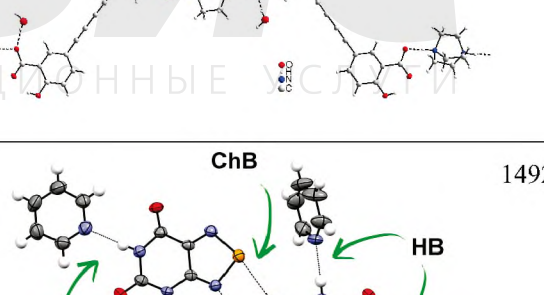
**Ключевые слова:** халькогенадиазолы, вторичные связывающие взаимодействия, нековалентные взаимодействия, халькогенные связи, водородные связи, сольваты

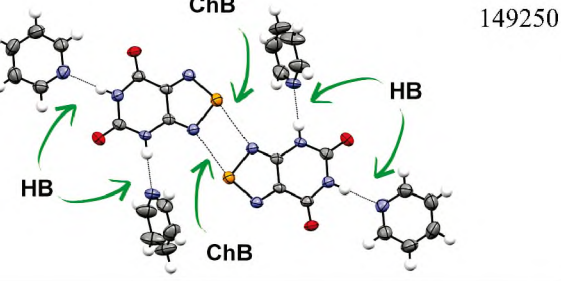
Завахина М.С., Самсоненко Д.Г., Дороватовский П.В., Лазаренко В.А.

Строение координационного полимера на основе цинка

и R-гексагидроминдальной кислоты

**Ключевые слова:** комплексы цинка, координационные полимеры, гексагидроминдальная кислота, хиральные комплексы, рентгеноструктурный анализ





149371

Голубева Ю.А., Ермакова Е.А., Смирнова К.С., Клюшова Л.С., Потапов А.С., Лидер Е.В.

#### Синтез и строение цитотоксичного комплекса меди(II) с производными фенантролина и бензимидазола

Ключевые слова: комплексы меди(II),

1,10-фенантролин-5,6-дион,

1-(1*H*-бензимидазол-1-илметил)-1*H*-1,2,3-бензотриазол, кристаллическая структура, цитотоксичность

Ермакова Е.А., Смирнова К.С., Лидер Е.В.

## Нетривиальный гексаядерный комплекс меди(II) на основе 4-(1Н-тетразол-5-ил)бензойной кислоты и 1,10-фенантролина

Ключевые слова: комплекс меди(II), тетразол, фенантролин, кристаллическая структура

Ларионов К.В., Мочалова Е.А., Паис Переда Х.Х., Сорокин П.Б.

### Теоретическое исследование новых магнитных гетероструктур $WX_2/CFGG$ (X = S, Se, Te)

Ключевые слова: сплав Гейслера, дихалькогениды переходных металлов, ферромагнетизм,

спиновая поляризация, гетероструктура

Бакулева Н.А., Личицкий Б.В., Самигуллина А.И., Третьяков Е.В.

Синтез, молекулярная и кристаллическая структура 4-оксо-1,2-дигидро-4Нпирроло[3,2,1-іј]хинолин-5-ил)замещенного нитронилнитроксила

Ключевые слова: органические радикалы, нитронилнитроксилы, рентгеноструктурный анализ, поверхность Хиршфельда

Nath J.Kr., Phukan N., Bania K.Kr.

Synthesis, and crystal structures, Hirshfeld surface, and crystal void analysis of two and a 1D cobalt-coordination polymer based on of a flexible imidazole-linked naphthalenediimide ligand and its polymorphic forms

Keywords: naphthalenediimide, hydrogen bonding, imidazole, polymorph, Co-coordination polymer, Hirshfeld

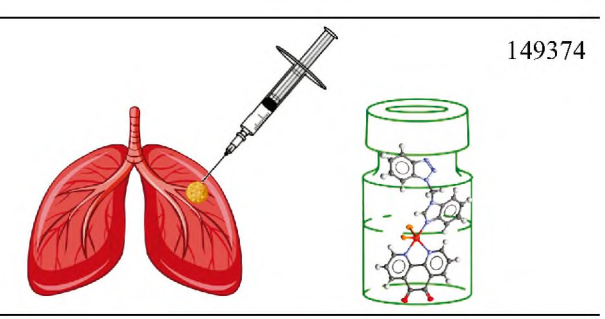
Стрельникова Ю.В., Иова А.А., Овсянников А.С., Исламов Д.Р., Дороватовский П.В., Бурилов В.А., Киямов А.Г., Литвинов И.А., Соловьева С.Е., Антипин И.С.

Синтез и кристаллическая структура новых гетеролептических моноядерных комплексов кобальта(III) на основе 1,3-дизамещенных по нижнему ободу производных каликс[4]арена, содержащих салицилиденаминные фрагменты, и 2,2'-бипиримидина

Ключевые слова: каликс[4]арен,

кристаллическая структура, Co(II), Co(III),

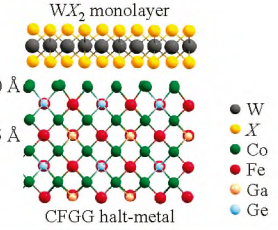
2,2'-бипиримидин, основания Шиффа, азопроизводные



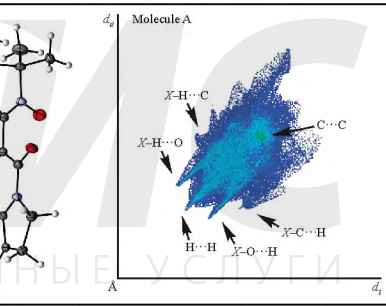


149530

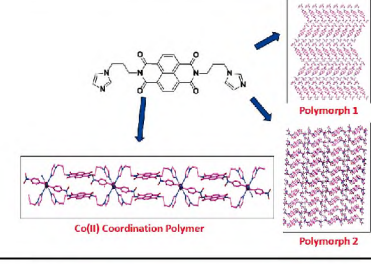
149532



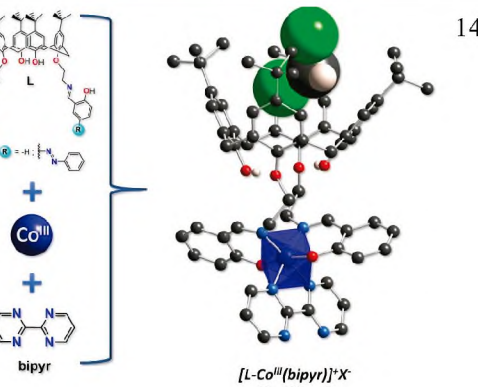
149673



149706



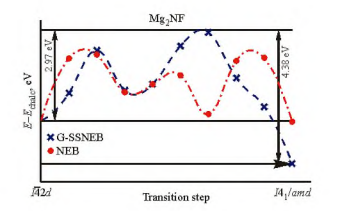
149732



Тимофеев В.С., Гордиенко А.Б.

ТФП-исследование динамики решетки и фазовых переходов соединений  $Mg_2NA$  (A=F, Cl, Br, I) в структурах антихалькопирита и анти-LiFeO<sub>2</sub>

**Ключевые слова:** антихалькопирит, анти-LiFeO<sub>2</sub>, динамика решетки, фазовый переход

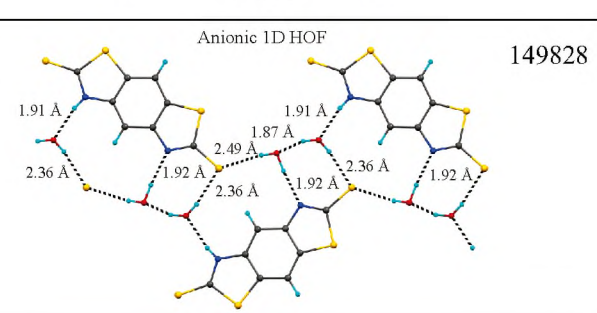


149776

Ильичев В.А., Рогожин А.Ф., Румянцев Р.В., Фукин Г.К., Бочкарев М.Н.

Особенности строения тетрабутиламмонийных солей бис-2-меркаптотиазолов — ионный комплекс и одномерный водородно-связанный органический каркас

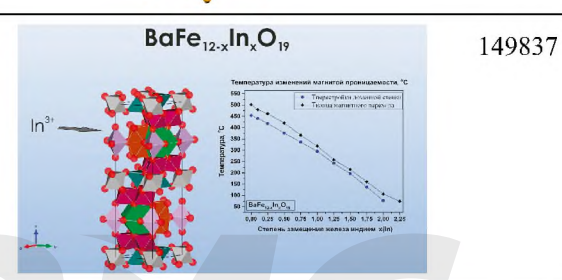
**Ключевые слова:** водородно-связанный органический каркас, тетрабутиламмоний, 2-меркаптотиазол, гетероциклический лиганд



Пунда А.Ю., Живулин В.Е., Гудкова С.А., Винник Д.А.

Изучение структуры и начальной магнитной проницаемости замещенного индием гексаферрита бария  $BaFe_{12-x}In_xO_{19}$  (x=0–2.25)

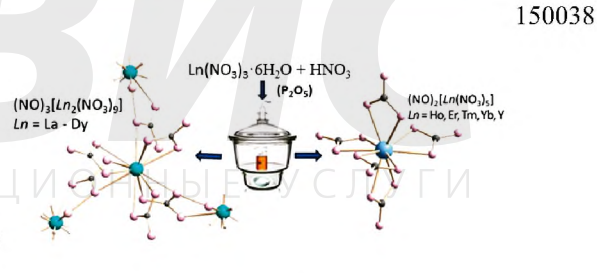
**Ключевые слова:** гексаферриты М-типа, твердофазный синтез,  ${\rm BaFe}_{12}\ _x{\rm In}_x{\rm O}_{19},$  температура Кюри, легирование индием



Воробьева А.А., Троянов С.И., Байтемиров М.М., Чистяков Г.Д., Гончаренко В.Е., Крайнюков А.А., Захаров К.В., Болталин А.И., Лысенко К.А., Морозов И.В.

Синтез, кристаллическое строение и свойства нитратных комплексов РЗЭ с катионом нитрозония

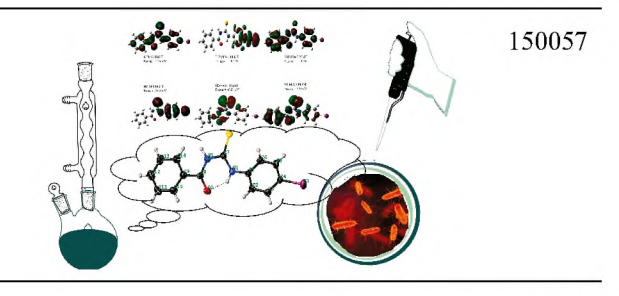
**Ключевые слова:** нитратные комплексы редкоземельных элементов, кристаллическое строение, катион нитрозония, термическая устойчивость



Kalem E., Kaya Kinaytürk N., Aşkar Ş., Yeşilkaynak T., Ağar E., Emen F.M.

Novel benzoylthiourea derivative N-((4-iodophenyl)carbamothioyl)benzamide: Synthesis, characterization, molecular modeling and investigation of antibacterial activity

**Keywords:** thiourea, X-ray single crystal, DFT, antibacterial activity, AMR



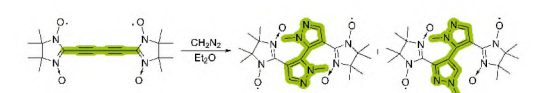
150118

Толстиков С.Е., Романенко Г.В., Третьяков Е.В., Богомиков  $^{A}$  С

Богомяков А.С. Синтез и структура биспиразолильных

Ключевые слова: пиразолы, диацетиленовые производные, нитронилнитроксильные радикалы, бирадикалы, рентгеноструктурный анализ

нитронилнитроксильных бирадикалов



Dar Kebira F., Chiboub Fellah F.Z., Nehar O.K., 150251 Sönmez Çelebi M., Boulefred S., Chiboub Fellah A. Electrochemical properties and Hirshfeld analysis of an octahedral Nickel Schiff base complex Keywords: Nickel Schiff bases complex, crystal structure, Hirshfeld surface, redox behavior CCSD(T)/cc-pVQZ Ковтун Д.М., Бажанова З.Г., Шишков И.Ф., 150703 Тарасов Ю.И. 1.010(N9 Верификация экспериментальной равновесной структуры молекул 3,4-дицианофуроксана и 3-циано-4-аминофуроксана с помощью методов MP2 и CCSD(T) Ключевые слова: 3-циано-4-аминофуроксан, N5 1.210 N2 3,4-дицианофуроксан, ГЭ, молекулярная модель,  $r_e$ -структура, ОЗ, ДБА, комбинирование MP2 и CCSD(T), 1.420 сс-pVXZ (X=T, Q), верификация эксперимента 1 wt% Fe 0.5 wt% Fe 0.3 wt% Fe Коротаев Е.В., Беккер Т.Б., Давыдов А.В., 150779 Мирошниченко Л.В., Федоренко А.Д. 0.2 wt% Fe Магнитные свойства легированног о железом фторидобората LiBa<sub>12</sub>(BO<sub>3</sub>)<sub>7</sub>F<sub>4</sub> (LBBF) .......... **Ключевые слова:** фторидоборат LiBa<sub>12</sub>(BO<sub>3</sub>)<sub>7</sub>F<sub>4</sub>, ионы Fe, метод Фарадея, удельная магнитная восприимчивость, статическая магнетохимия, РФЭС Тетерин Ю.А., Путков А.Е., Рыжков М.В., 151003 Маслаков К.И., Тетерин А.Ю., Иванов К.Е., Калмыков С.Н., Петров В.Г. Электронное строение диоксидов актиноидов Ключевые слова: диоксиды актиноидов, внешние и внутренние валентные МО, спектры РФЭС

Содержание следующего номера — в конце журнала

© Новосибирский государственный университет, 2025

<sup>©</sup> Сибирское отделение РАН, 2025

<sup>©</sup> Институт неорганической химии им. А.В. Николаева СО РАН, 2025